ISSN: 2582-4686 SJIF 2021-3.261,SJIF 2022-2.889, 2024-6.875 ResearchBib IF: 9.948 / 2024

THE MULTIDISCIPLINARY JOURNAL OF SCIENCE AND TECHNOLOGY

VOLUME-5, ISSUE-6

УДК. 541.18.182.

Пластифицирующий действия поверхностно-активных веществ на основе вторичных продуктов химических и биохимических производств

Мухамедов Кабилджан Гафурович.
Ташкентский государственный технический университет имени Ислама Каримова .
Профессор кафедры «Экологии и охраны окружающей среды»
Насирова Нилуфархон Кабилджановна.
Ташкентский государственный аграрный университет. Доцент кафедры «Стандартизация и сертификация сельскохозяйственной продукции»

Аннотация
В работе изучено пластифицирующее действие поверхностно-активных веществ (ПАВ), полученных на основе вторичных продуктов химических и биохимических производств. Рассматриваются особенности структуры и свойств таких ПАВ, а также их влияние на реологические характеристики полимерных и композиционных материалов. Приведены экспериментальные данные, подтверждающие эффективность применения вторичных ресурсов в качестве экологически более безопасных и экономически целесообразных пластификаторов. Особое внимание уделено вопросам устойчивости, совместимости с различными матрицами и перспективам внедрения в промышленное производство.
Ключевые слова: поверхностно-активные вещества, вторичные продукты, пластификаторы, реология, экологическая эффективность, химическая переработка.

Интенсивное развитие промышленности и повышение требований к рациональному использованию природных ресурсов в Узбекистане, ставит перед учеными определенные задачи по разработке новых и усовершенствованию существующих технологических процессов, обладающих принципиально новыми свойствами, повышению требований к качеству выпускаемой продукции и сырья, которые должны быть конкурентоспособными на мировом рынке.

Тенденция использования исключительно местного сырья для производства химических материалов и вывод их на мировой рынок связаны с углублением реформ в экономике Узбекистана, с реализацией программы локализации и создания импортозамещающей продукции. Из вторичных ресурсов, имеющихся в Узбекистане можно получить конкурентоспособную, импортозамещающую продукцию. Таковыми, в частности, могут с успехом выступать производственные отходы химических и биохимических производств.

В настоящее время водорастворимые полиэлектролиты (ВРП) и поверхностно-активные вещества (ПАВ) нашли широкое применение в различных областях народного хозяйства. Они применяются в химической и биохимической промышленностях, гидрометаллургии, водоподготовке, нефте-газо добыче, при очистке производственных сточных вод, и в других отраслях народного хозяйства .

ISSN: 2582-4686 SJIF 2021-3.261,SJIF 2022-2.889, 2024-6.875 ResearchBib IF: 9.948 / 2024

THE MULTIDISCIPLINARY JOURNAL OF SCIENCE AND TECHNOLOGY

VOLUME-5, ISSUE-6

Ежегодная их потребность в Республике Узбекистан составляет более 20-25 тысяч тонн. Используемые на сегодняшний день ВРП и ПАВ в основном завозятся из стран СНГ и дальнего зарубежья, что сказывается на повышение стоимости конечной продукции. В связи с возрастающей потребностью ВРП и ПАВ возникает целесообразность их производства на основе местных сырьевых ресурсов, с применением передовой технологии, что приобретают исключительно важное значение.

Рациональное использование вторичных материальных ресурсов позволяет реализовать закон Республики Узбекистана «Об отходах», организовать производство ВРП и ПАВ, и тем самым обеспечить ритмичность работы производственных предприятий, применяющих их.

Для получения «ВРП» и «ПАВ» в Республике имеется реальная сырьевая база в виде вторичных продуктов химической и биохимической промышленностей и они становятся доступными в условиях рынка.

Переработка вторичного сырья в различные полезные продукты наряду с экономической целесообразностью представляет экологическую необходимость для организации эффективных малоотходных технологий. Следовательно, актуальные вопросы переработки вторичных продуктов производства фурановых соединений, представляющих смесь 15 органических соединений (фурфурол 45÷75%; метил фурфурол 15÷25%; фурановые альдегиды 70÷ 95%; олигомерные продукты 10÷ 11% ; фурфуриловый спирт 44 ÷ 45% ; тетрагидрофурфуриловый спирт 40 ÷ 42% и другие соединения), а также кубовых остатков производства нитрила акриловой кислоты (НАК), содержащих 10 ÷ 12% полимеризованного акрилонитрила, предопределили цель и задачи данного научного исследования, которое направлено на создание ресурсосберегающих и малоотходных технологий получения ВРП и ПАВ. Обоснованность и перспективность выбора этих продуктов в качестве сырьевого источника для получения ВРП и ПАВ обусловлены наличием в их составе необходимых активных функциональных групп, таких как карбоксильные и гидроксильные (**-COOH** и **CH_2OH**) и другие.

Целью настоящей работы является изучение поверхностно-активных препаратов условно названного «ВПФС» полученных на основе вторичных продуктов химических и биохимических производств в качестве пластификаторов в дисперсиях минеральных веществ, для сравнения были исследованы известные суперпластификаторы серии «СБ-5» и «С-3».

Величина предельного динамического напряжения сдвига концентрированных суспензий обуславливается совокупностью сил сцепления частиц в местах их контактирования: прочностью (**P**) индивидуальных контактов между частицами и их числом (**n**) на единицу поверхности. В этом приближении

$$\tau_0 = n \cdot P;$$

где величина **n** определяется размером частиц и плотностью упаковки, и при введении добавки изменяется только в определенных пределах за счет протекания процессов пептизации или коагуляции. Отсюда следует, что уменьшение предельного динамического напряжения сдвига

ISSN: 2582-4686 SJIF 2021-3.261,SJIF 2022-2.889, 2024-6.875 ResearchBib IF: 9.948 / 2024

THE MULTIDISCIPLINARY JOURNAL OF SCIENCE AND TECHNOLOGY

VOLUME-5, ISSUE-6

практически до нуля при оптимальных дозировках добавки обусловлено падением прочности индивидуальных контактов до значений, сравнимых с энергией теплового движения [1].

Величину **n** в соответствии с [2] можно оценить, исходя из наиверотнейшего радиуса частиц, полученного методом седиментационного анализа (рис.1-3)

$$n = \frac{1}{4 \cdot r^2};$$

где: r – радиус частиц, м

Прочность коагуляционного контакта определяется силами межмолекулярного взаимодействия, при этом энергию сцепления можно рассчитать по следующей формуле:

$$U_к = P \cdot h;$$

где: $U_к$ – энергия сцепления частиц в контакте, Дж;

h – расстояние между частицами, м;

P – прочность индивидуального контакта, Н.

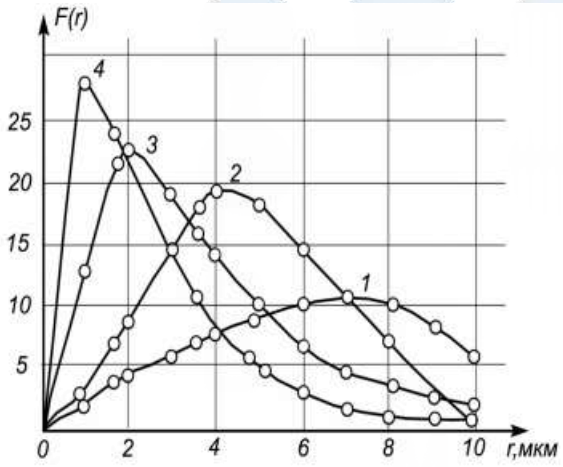


Рис.1. Дифференциальные кривые распределения частиц мела по радиусам: 1-без добавки, с добавками «ВПФС» % : 2-0.05; 3-0.10; 4-0.15.

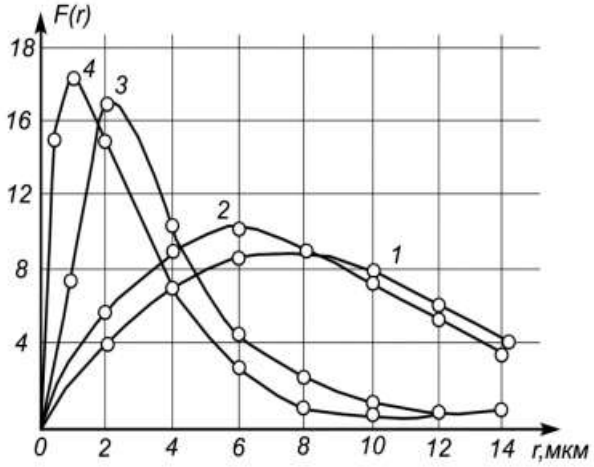


Рис.2. Дифференциальные кривые распределения частиц Al_2O_3по радиусам: 1-без добавки, с добавками «ВПФС» %: 2-0.05; 3-0.10; 4-0.15.

ISSN: 2582-4686 SJIF 2021-3.261,SJIF 2022-2.889, 2024-6.875 ResearchBib IF: 9.948 / 2024

THE MULTIDISCIPLINARY JOURNAL OF SCIENCE AND TECHNOLOGY

VOLUME-5, ISSUE-6

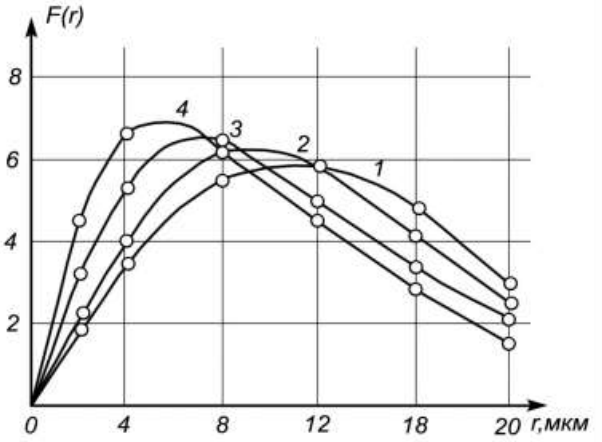


Рис.3. Дифференциальные кривые распределения частиц SlO_2 по радиусам: 1-без добавки, с добавками «ВПФС» % : 2-0.05; 3-0.10; 4-0.15.

Расстояние между частицами, находящихся в коагуляционных контактах (контакты через прослойку дисперсионной среды) составляет 0,5-1 нм [3]

Сопоставляя указанные выше соотношения, по значениям предельного динамического напряжения сдвига можно оценить энергию коагуляционного контакта.

$$U_к = P \cdot h = \tau_o \, h/n = \tau_o \cdot h \cdot 4r^2$$

Подстановка конкретных значений для меловой суспензии без добавки (τ_o = 280 Па, h = 0,75нм, r = 7,0 мкм) дает следующее значение Uk:

$$U_к = 280 \cdot 0{,}75 \cdot 10^{-9} \, (2 \cdot 7{,}0 \cdot 10^{-6})^2 = 41{,}2 \cdot 10^{-18} \approx 10300кТ$$

Для суспензии оксида алюминия без добавки (τ_o= 60 Па,h = 0,75нм, r = 8,7мкм):

$$U_к = 60 \cdot 0{,}75 \cdot 10^{-9} \, (2 \cdot 8{,}7 \cdot 10^{-6})^2 = 13{,}6 \cdot 10^{-18} \approx 3400кТ$$

Для суспензии песка без добавки (τ_o = 90 Па, h = 0,75нм, r = 11,0 мкм):

$$U_к = 90 \cdot 0{,}75 \cdot 10^{-9} \, (2 \cdot 11{,}0 \cdot 10^{-6})^2 = 32{,}7 \cdot 10^{-18} \approx 8175кТ$$

Как видно из расчетов, полученные значения $U_к$ для каждой суспензии значительно превышают энергию теплового движения, что и обуславливает структурированный характер суспензии.

ISSN: 2582-4686 SJIF 2021-3.261,SJIF 2022-2.889, 2024-6.875 ResearchBib IF: 9.948 / 2024

THE MULTIDISCIPLINARY JOURNAL OF SCIENCE AND TECHNOLOGY

VOLUME-5, ISSUE-6

Агрегативная устойчивость и реология дисперсных систем с частицами твердой дисперсной фазы и жидкой дисперсионной средой определяются их природой, дисперсностью и концентрацией частиц. Каждая частица представляет собой микрообъем конденсированной фазы, её размеры велики по сравнению с размерами молекул, поэтому силы притяжения между частицами определяются, в основном, дисперсионными взаимодействиями. Силы отталкивания могут иметь различную природу. Прочность коагуляционной структуры определяется глубиной вторичного минимума на потенциальной кривой, т.е. соотношением между силами притяжения и отталкивания [4].

Но агрегативная устойчивость и прочность коагуляционной структуры коллоидной системы могут быть обусловлены следующими факторами: электростатическим, адсорбционно-сольватным, энтропийным, структурно-механическим, гидродинамическим [5].

Рассмотрим роль этих факторов в стабилизации меловой суспензии с допущением, что частицы дисперсной фазы шарообразны.

Расчет сил дисперсионного притяжения проводили по формуле:

$$U_M = \frac{A^* r}{12h};$$

где: U_M – энергия молекулярного притяжения, Дж;
A^* - константа Гамакера, Дж;
h - расстояние между частицами, м;
r - радиус частиц, м.

Константу Гамакера принимали равной $5 \cdot 10^{-20}$ Дж [6,7]. Радиусы частиц дисперсной фазы меловой суспензии без добавки в соответствии с данными седиментационного анализа принимали равными r_o=7 мкм и r_1=1 мкм (с добавкой 0.2% ВПФС). Результаты расчетов приведены в таблице 1.

Таблица 1

Зависимость энергии взаимодействия частиц от расстояния

Энергия взаимо-действия 10^{18} Дж		Расстояние между частицами, нм.					
		1	2	5	10	20	30
Без добавки	U_{M0}	-29,2	-14,58	-5,83	-2,92	-1,46	0,97
	$U_{Э0}$	5,189	5,157	4,474	3,682	2,439	1,561
	$U_{M0} + U_{Э0}$	-24,011	-9,423	-1,356	0,762	0,979	0,591
		Расстояние между частицами, нм.					
		40	50	60	70	80	90
	U_{M0}	-0,729	-0,583	-0,486	-0,417	-0,365	-0,324
	$U_{Э0}$	0,986	0,615	0,379	0,232	0,142	0,0862
	$U_{M0} + U_{Э0}$	0,257	0,032	-0,107	-0,185	-0,223	-0,2378

ISSN: 2582-4686 SJIF 2021-3.261,SJIF 2022-2.889, 2024-6.875 ResearchBib IF: 9.948 / 2024

THE MULTIDISCIPLINARY JOURNAL OF SCIENCE AND TECHNOLOGY

VOLUME-5, ISSUE-6

		Расстояние между частицами, нм.					
		100	110	120	140	160	
	U_{M0}	-0,292	-0,265	-0,243	-0,208	-0,182	
	$U_{Э0}$	0,0526	0,0319	0,0194	0,00716	0,00264	
	$U_{M0} + U_{Э0}$	-0,2394	-0,2331	-0,2236	-0,20084	-0,17936	
Энергия взаимо-действия 10^{18} Дж		Расстояние между частицами, нм.					
		1	2	5	10	20	30
Без добавки	U_{M1}	-4,167	-2,083	-0,833	-0,417	-0,208	-0,139
	$U_{Э1}$	14,735	14,647	12,706	10,456	6,927	4,434
	$U_{M1} + U_{Э1}$	10,568	12,564	11,873	10,039	6,719	4,295
		Расстояние между частицами, нм.					
		40	50	60	70	80	90
	U_{M1}	-0,104	-0,0833	-0,0694	-0,0595	-0,0521	-0,0463
	$U_{Э1}$	2,801	1,747	1,076	0,66	0,404	0,245
	$U_{M1} + U_{Э1}$	2,697	1,6637	1,0066	0,6005	0,3519	0,1987
		Расстояние между частицами, нм.					
		100	110	120	140	160	
	U_{M1}	-0,0417	-0,0379	-0,0347	-0,0298	-0,026	
	$U_{Э1}$	0,149	0,0907	0,0551	0,0203	0,00749	
	$U_{M1} + U_{Э1}$	0,1073	0,0528	0,0204	-0,0095	-0,01851	

Структурно – механический фактор устойчивости суспензий возникает при адсорбции молекул, которые являются поверхностно-активными для данной границы раздела фаз, и образуют гелеобразный структурированный слой на межфазной границе. Толщина гелеобразного слоя должна составлять 5-10нм [6], чтобы препятствовать сближению частиц на расстояния, где молекулярные силы притяжения велики. Анализ изотерм адсорбции ВПФС на границе раствор-твердое тело свидетельствует об образовании только мономолекулярного слоя ПАВ на поверхности дисперсной фазы. Толщина адсорбционного слоя при этом не превышает 2 нм, что явно недостаточно для создания структурно механического отталкивания между частицами.

Гидродинамический фактор устойчивости заключается в снижении скорости движения частиц и частоты их соударений при изменении вязкости и плотности дисперсионной среды. При введении добавок вязкость и плотность раствора изменяются незначительно, в связи с чем роль гидродинамического фактора при введении добавок не существенна.

Электрический фактор устойчивости основан на балансе сил электрического притяжения и электростатического отталкивания; электростатические силы отталкивания диффузных

ISSN: 2582-4686 SJIF 2021-3.261,SJIF 2022-2.889, 2024-6.875 ResearchBib IF: 9.948 / 2024

VOLUME-5, ISSUE-6

ионных слоев частиц обеспечивают агрегативную устойчивость золей. Расчет сил электростатического отталкивания в соответствии с теорией ДЛФО для шарообразных частиц дисперсной фазы проводили по уравнению [5]:

$$U_Э = 2\pi \cdot \varepsilon_o \cdot \varepsilon \cdot r \cdot \varphi_\delta^2 \cdot \ln [\, 1 + e^{-x \cdot h} \,];$$

где: $U_Э$ – энергия электростатического отталкивания, Дж;

$\varepsilon_o = 8{,}85 \cdot 10^{-12}$ –диэлектрическая постоянная воды;

φ_δ – потенциал диффузного слоя, принимаемый равным ζ – потенциалу, В;

x - величина, обратная толщине диффузного слоя, $м^{-1}$;

h - расстояние между частицами, м;

r - радиус частиц, м.

Величину X рассчитывали по уравнению:

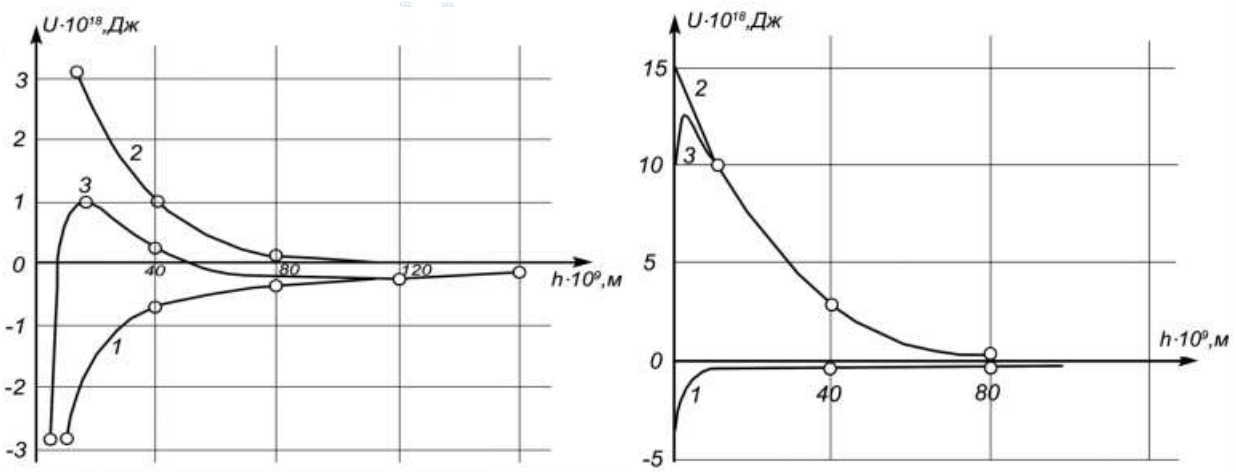
$$X = \sqrt{\frac{2 \cdot F^2 \cdot I}{\varepsilon \cdot \varepsilon_o \cdot R \cdot T \cdot}} = 0{,}5 \cdot 10^{-8}\ м^{-1};$$

где: $F = 9{,}65 \cdot 10^4$ Кл/г-экв – число Фарадея; I – ионная сила раствора.

Значение электрокинетического потенциала для суспензии мела без добавок в соответствии с данными, полученными в разделе влияние пластификаторов на электрокинетический потенциал частиц дисперсной фазы, принимали равным – 15,7 мВ ($U_{Э0}$), с добавкой ВПФС (0,2%) – 70,0мВ ($U_{Э1}$). Результаты расчета $U_Э$ для различных расстояний между частицами представлены в таблице 1.

На рисунке 4 представлены кривые потенциальной энергии сил притяжения и отталкивания, а также результирующая потенциальная кривая притяжения и отталкивания.

а) б)



ISSN: 2582-4686 SJIF 2021-3.261,SJIF 2022-2.889, 2024-6.875 ResearchBib IF: 9.948 / 2024

THE MULTIDISCIPLINARY JOURNAL OF SCIENCE AND TECHNOLOGY

VOLUME-5, ISSUE-6

Рис.4. Потенциальные кривые для меловой суспензии без добавки (а) и в присутствии 0,2% ВПФС (б): 1- кривая сил притяжения; 2- кривая сил отталкивания; 3- результирующая потенциальная кривая

Из представленного рисунка видно, что при введении 0,2% ВПФС потенциальный барьер значительно возрастает, при этом максимум потенциальной кривой проявляется уже при h = 2нм. Второй потенциальный минимум, характеризующий коагуляционное взаимодействие в суспензии без добавки ВПФС появляется на расстоянии между частицами -50нм, а при введении ВПФС он практически исчезает, т.е. его величина становится значительно меньше энергии теплового движения молекул.

Анализ данных таблицы 1 и рисунка 4 показывает, что действие сил молекулярного притяжения преодолевается действием электростатического фактора.

С учетом того, что расстояние между частицами в системе значительно меньше радиуса самих частиц; энергию молекулярного притяжения и электростатического отталкивания можно также представить как энергию взаимодействия плоских параллельных пластин и рассчитать по соответствующим уравнениям:

$$U_M = \frac{A^*}{12\pi h^2}$$

$$U_Э = 2\varepsilon_o \cdot \varepsilon \cdot X \cdot \varphi_\delta \cdot e^{-x \cdot h};$$

где: U_M – энергия молекулярного притяжения;

$U_Э$ - энергия электростатического отталкивания.

Результаты расчетов представлены в таблице 2.

Таблица 2

Энергия взаимодействия между частицами (пластинами)

Вид энергии, Дж/м2	Расстояние между частицами, нм					
	1	2	5	10	20	30
$-U_M \cdot 10^6$	1327	332	53.1	13.3	3.325	1.47777
$U_{Э0} \cdot 10^6$	106.7	64.8	13.8	1.1	0.007	0.00002
$U_{Э1} \cdot 10^6$	2122	1288	274.7	21.5	0.049	0.00018
$U_S \cdot 10^6$	1554	143	11.2	7.5	3.325	1.47768

ISSN: 2582-4686 SJIF 2021-3.261,SJIF 2022-2.889, 2024-6.875 ResearchBib IF: 9.948 / 2024

THE MULTIDISCIPLINARY JOURNAL OF SCIENCE AND TECHNOLOGY

VOLUME-5, ISSUE-6

(U_M+ $U_{Э0}$+ U_S· 10^6)	333.7	-124.2	-28.1	-4.7	0.007	-0.00007
(U_M+ $U_{Э0}$+ U_S· 10^6)	2349	1099	232.8	15.7	0.049	0.000090

Данные адсорбционно–сольватого фактора устойчивости в нашем случае указывают на в уменьшение поверхностного натяжения на границе раствор-твердое тело в результате адсорбции молекул добавок и возникновения развитых гидратных слоев. При сближении частиц гидратные слои прерываются. Возрастает осмотическое давление, а с ним и давление отталкивания, предотвращающее коагуляцию. Образование достаточно развитых гидратных оболочек мало вероятно для дисперсных систем с лифобной дисперсной фазой вследствие слабого энергетического взаимодействия среды с дисперсной фазой.

При адсорбции добавок, имеющих большое число ионных гидрофильных групп, увеличивается межфазное взаимодействие, что приводит к уменьшению поверхностного натяжения и образованию развитых гидратных слоев.

Важную роль структурных сил, обусловленных существованием граничного слоя воды на гидрофильных поверхностях, подтверждают работы многих авторов [5-7]. В соответствии с этими работами энергию структурного взаимодействия между пластинами рассчитывали по формуле:

$$U_S = K \cdot l \cdot e^{-h/l};$$

где: U_S – энергия структурного взаимодействия, Дж/м^2;

К - константа структурных сил, характеризующая гидрофильность поверхности;

l – характеристическая длина структурных сил.

Для гидрофильных поверхностей по данным [7] К изменяется в пределах 10^6 - 10^7Дж/м^3, l в пределах 1–10нм. Для расчетов использовали средние значения К и l, результаты расчетов представлены в таблице 2.

Анализ данных таблицы 2 показывает, что действие сил молекулярного притяжения преодолевается совместным действием электростатического и адсорбционно-сольватного факторов, так как сумма $U_Э$ и U_S больше U_M для всех расстояний между частицами.

Таким образом, механизм пластифицирующего действия «ВПФС» заключается, по нашему мнению, в следующем: молекулы добавки адсорбируются на поверхности частиц, образуя мономолекулярный слой; адсорбция на поверхности частиц обеспечивается ионным взаимодействием отрицательных оксигрупп с положительно заряженными активными центрами поверхности дисперсной фазы и дисперсионными силами взаимодействия между ароматическими кольцами «ВПФС» и поверхностью частиц. При этом, поскольку добавка является анионно активным веществом, заряд поверхности частиц становится более отрицательным. Необходимо отметить, что абсолютное значение ζ- потенциала частиц в суспензиях с «ВПФС» увеличивается в значительно большей степени, чем при использовании известных суперпластификаторов «С-3» и «СБ-5». Это приводит и к большему увеличению

ISSN: 2582-4686 SJIF 2021-3.261,SJIF 2022-2.889, 2024-6.875 ResearchBib IF: 9.948 / 2024

VOLUME-5, ISSUE-6

сил отталкивания, что объясняет более высокую агрегативную устойчивость минеральных суспензий пластифицированных «ВПФС».

Этому же способствует формирование гидратных слоев вокруг частиц вследствие наличия большего числа оксигрупп в молекуле ВПФС по сравнению с «СБ-5», В результате силы отталкивания начинают преобладать над молекулярными силами притяжения, что обусловлено совместным действием электростатического и адсорбционно-сольватного факторов агрегативной устойчивости. Снижение энергии коагуляционного контакта до величин, сравнимых с энергией теплового движения приводит к полной агрегативной устойчивости системы, пептизации агрегатов до первичных частиц, изменению реологического характера течения суспензии со структурированного на ньютоновский.

Литература:

1. Батраков В.Г. К вопросу о модифицировании бетонов олигомерами. // Исследование и применение бетонов с суперпластификаторами. – М.: НИИЖБ, 2002. – 60 с.
2. Чернов В.Е. Применение пластифицирующих добавок из отходов предприятий в производстве строительных материалов // Теория и практика применения суперпластификаторов в бетоне: Тез. докл. зон. конф. – Пенза, 2003. – С. 74-75.
3.Kondo R., Daimon M. and Sakai E. Cemento 75. – 2000. – 225 p.
4.Фридрихсберг Д.А. Курс коллоидной химии: учеб. для вузов.- 3-е изд., исправил. – СПБ.: Химия, 2005. – 400 с.
5.Фролов Ю.Г. Курс коллоидной химии. Поверхностные явления и дисперсные системы. / Фролов Ю.Г. – 3-е изд. – М.: Химия, 2004. – 464 с.
6.Паховчишин С.В. Определение предела текучести дисперсий, проявляющих тиксотропные и дилитантные свойства // Коллоидный журнал. – 2005. – Т.67. - № 5. – С. 718-719.
7.Фролов Ю.Г., Гродский А.С. Лабораторные работы и задачи по коллоидной химии. - 2-е изд. – М.: Химия, 2006. – 216 с.